

Estimación del Ancho de Banda Efectivo a partir del radio espectral

Carina Fernández, José Bavio, Beatriz Marrón

Dpto. Matemática Universidad Nacional del Sur - jmbavio@yahoo.com.ar

Bahía Blanca - Junio 2023



Problema:

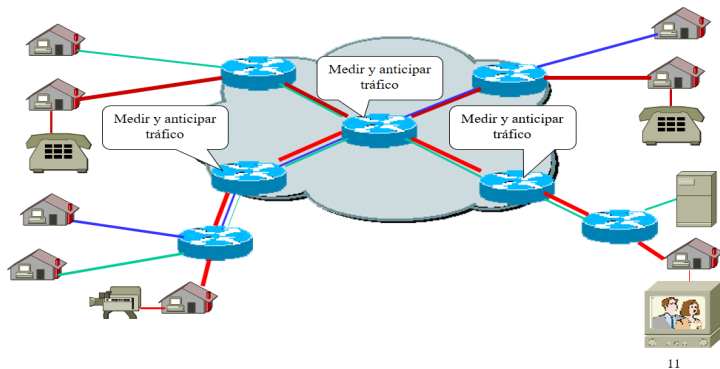


Figura: Esquema de red de datos

- **Cómo medimos el requerimiento para una fuente de tráfico, y como lo anticipamos?**
- Medirlo: Ancho de Banda Efectivo (ABE)
- Anticiparnos: hipótesis de modelado. Asumimos: Flujo Markoviano Generalizado (FMG).

- Cómo medimos el requerimiento para una fuente de tráfico, y como lo anticipamos?
- Medirlo: Ancho de Banda Efectivo (ABE)
- Anticiparnos: hipótesis de modelado. Asumimos: Flujo Markoviano Generalizado (FMG).

- Cómo medimos el requerimiento para una fuente de tráfico, y como lo anticipamos?
- Medirlo: Ancho de Banda Efectivo (ABE)
- Anticiparnos: hipótesis de modelado. Asumimos: Flujo Markoviano Generalizado (FMG).

Tipos de Actividades online



Parámetros del Flujo Markoviano Generalizado

- Q :
 - generador infinitesimal de la cadena, matriz de tamaño $k \times k$, Irreducible.
 - $q_{ij} \in \mathbb{R}$, $q_{ij} > 0$ fuera de la diagonal, $\sum_j q_{ij} = 0$, $q_{ii} < 0$.
 - q_{ij} es la cantidad de transiciones del estado i al j por unidad de tiempo
- H :
 - matriz diagonal con coeficientes en \mathbb{R}^+ , tamaño $k \times k$
 - $H = \text{diag}(h_i)$, donde h_i se corresponde con la velocidad media de despacho según la distribución asociada al estado i .
- π : la distribución invariante de la cadena. Es un vector de probabilidad fila de tamaño $k \times 1$, sus componentes suman 1.

Parámetros del Flujo Markoviano Generalizado

- Q :
 - generador infinitesimal de la cadena, matriz de tamaño $k \times k$, Irreducible.
 - $q_{ij} \in \mathbb{R}$, $q_{ij} > 0$ fuera de la diagonal, $\sum_j q_{ij} = 0$, $q_{ii} < 0$.
 - q_{ij} es la cantidad de transiciones del estado i al j por unidad de tiempo
- H :
 - matriz diagonal con coeficientes en \mathbb{R}^+ , tamaño $k \times k$
 - $H = \text{diag}(h_i)$, donde h_i se corresponde con la velocidad media de despacho según la distribución asociada al estado i .
- π : la distribución invariante de la cadena. Es un vector de probabilidad fila de tamaño $k \times 1$, sus componentes suman 1.

Parámetros del Flujo Markoviano Generalizado

- Q :
 - generador infinitesimal de la cadena, matriz de tamaño $k \times k$, Irreducible.
 - $q_{ij} \in \mathbb{R}$, $q_{ij} > 0$ fuera de la diagonal, $\sum_j q_{ij} = 0$, $q_{ii} < 0$.
 - q_{ij} es la cantidad de transiciones del estado i al j por unidad de tiempo
- H :
 - matriz diagonal con coeficientes en \mathbb{R}^+ , tamaño $k \times k$
 - $H = \text{diag}(h_i)$, donde h_i se corresponde con la velocidad media de despacho según la distribución asociada al estado i .
- π : la distribución invariante de la cadena. Es un vector de probabilidad fila de tamaño $k \times 1$, sus componentes suman 1.

Definición

La siguiente fórmula explícita del ABE para el FMG :

$$\alpha(\mathbf{s}, t) = \frac{1}{st} \log \{ \pi \exp [(\mathbf{Q} + \mathbf{sH}) t] \mathbf{1} \},$$

donde $\mathbf{1}$ es un vector columna con todas las entradas iguales a 1.

- Vamos a mirar el límite del ABE para $t \rightarrow \infty$ porque ahí tenemos un comportamiento global “estabilizado”

Definición

La siguiente fórmula explícita del ABE para el FMG :

$$\alpha(\mathbf{s}, t) = \frac{1}{st} \log \{ \pi \exp [(\mathbf{Q} + \mathbf{sH}) t] \mathbf{1} \},$$

donde $\mathbf{1}$ es un vector columna con todas las entradas iguales a 1.

- Vamos a mirar el límite del ABE para $t \rightarrow \infty$ porque ahí tenemos un comportamiento global “estabilizado”

Resultado principal

Teorema

Dado un FMG modulado por una cadena de Markov a tiempo continuo homogénea e irreducible, con k estados, distribución inicial π y generador infinitesimal Q , se verifica:

$$\lim_{t \rightarrow \infty} \alpha(s, t) = \frac{1}{s} \rho(Q + sH),$$

donde $\rho(Q + sH)$ es el máximo autovalor real de la matriz $Q + sH$.

Lema principal

Lema

Dado un FMG modulado por una cadena de Markov a tiempo continuo homogénea e irreducible, con k estados, distribución inicial π y generador infinitesimal Q , se verifica:

$$\lim_{t \rightarrow \infty} \{ \pi \exp[(Q + sH)t] \mathbf{1} \}^{1/t} = \rho(\exp(Q + sH)),$$

donde $\rho(\exp(Q + sH))$ es el máximo autovalor real de la matriz $\exp(Q + sH)$.

Demostración

- Doble desigualdad, primero veremos que

$$\rho(\exp(Q + sH)) \geq \lim_{t \rightarrow \infty} \{\pi \exp[(Q + sH)t] \mathbf{1}\}^{1/t}.$$

- $A := \exp(Q + sH)$, no negativa e irreducible y $P = \phi_d \phi'_i$ matriz de proyección espectral con respecto a A . $g_p := \rho(A)$
- Armamos $B := A - g_p P$, que comparte autovalores con A .
luego $|g_B| \leq g_p$
- Fórmula de Gelfand:

$$\rho(B) = \lim_{m \rightarrow \infty} \|B^m\|^{1/m} = \lim_{m \rightarrow \infty} \left(\max_{1 \leq j \leq k} \sum_{i=1}^k |b_{ij}^{(m)}| \right)^{1/m} \leq g_p,$$

- Controlar las b_{ij}^m de B^m

$$\max_{i,j} |b_{ij}^{(m)}| \leq g_p^m, \forall m \geq k_2.$$

- B cumple que: $B^m = A^m - g_p^m P$. Luego,
- Además $g_p^t \pi P \mathbf{1} \leq g_p^t \phi_i' \mathbf{1}$.
- Para t suficientemente grande:

$$\pi B^t \mathbf{1} \leq g_p^t k.$$

- Luego por las propiedades de la matriz de proyección espectral:

$$\pi A^t \mathbf{1} = \pi B^t \mathbf{1} + g_p^t \pi P \mathbf{1} \leq \pi B^t \mathbf{1} + g_p^t \phi_i' \mathbf{1} \leq g_p^t [k + \phi_i' \mathbf{1}]$$

- Aplicando límite y elevando a la $1/t$

$$\begin{aligned} \lim_{t \rightarrow \infty} \{\pi A^t \mathbf{1}\}^{1/t} &\leq \lim_{t \rightarrow \infty} \{g_p^t [k + \phi_i' \mathbf{1}]\}^{1/t} \\ &= \lim_{t \rightarrow \infty} g_p [k + \phi_i' \mathbf{1}]^{1/t} = g_p. \end{aligned}$$

- Resta demostrar la otra desigualdad:

$$\rho(\exp(Q + sH)) \leq \lim_{t \rightarrow \infty} \{\pi \exp[(Q + sH)t] \mathbf{1}\}^{1/t}.$$

- El autovalor de Perron en matrices positivas verifica que

$$g_p \leq \max_i \sum_j a_{ij},$$

$$A \mathbf{1} \geq g_p \mathbf{1}.$$

- Inducción sobre m vale: $A^m \mathbf{1} \geq g_p^m \mathbf{1}$.

$$\pi A^t \mathbf{1} \geq \pi g_p^t \mathbf{1} = g_p^t,$$

$$\lim_{t \rightarrow \infty} \{\pi A^t \mathbf{1}\}^{1/t} \geq \lim_{t \rightarrow \infty} [g_p^t]^{1/t} = g_p = \rho(\exp(Q + sH)). \quad (1)$$

Con esto queda el Lema queda demostrado.

Para demostrar el teorema:

$$\begin{aligned}\lim_{t \rightarrow \infty} \alpha(\mathbf{s}, t) &= \lim_{t \rightarrow \infty} \frac{1}{st} \log \{ \pi \exp [(\mathbf{Q} + \mathbf{sH}) t] \mathbf{1} \} = \\ &= \frac{1}{\mathbf{s}} \log(\rho(\exp(\mathbf{Q} + \mathbf{sH}))) \\ &= \frac{1}{\mathbf{s}} \rho(\mathbf{Q} + \mathbf{sH})\end{aligned}$$

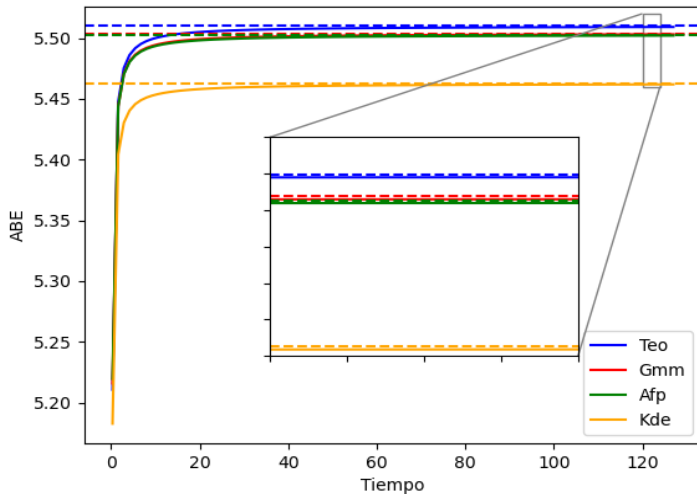
Convergencia

- ¿Qué pasa cuando reemplazamos, Q , H y π por sus estimadores \hat{Q} , \hat{H} y $\hat{\pi}$?
- En este trabajo estimamos los parámetros de un FGM usando tres métodos, Kernel Density Estimation (Kde), Gaussian Mixed Model (Gmm) y Affinity Propagation (Afp)



C. Fernández, J. Bavio and B. Marrón, “Evaluation of Clustering Techniques to Estimate the Effective Bandwidth of a Markovian Fluid from Traffic Traces”, in IEEE Latin America Transactions, vol. 21, no. 5, pp. 636-642, May 2023, doi: 10.1109/TLA.2023.10130835.

Convergencia de ancho de banda al autovalor de Perron



- Estos son los parámetros estimados con Affinity Propagation

$\hat{\pi}$	0.109	0.107	0.110	0.115	0.110	0.113	0.111	0.114	0.110
π	0.111	0.111	0.111	0.111	0.111	0.111	0.111	0.111	0.111

$$Q = \begin{bmatrix} -8 & 1 & 1 & 1 & 1 & 1 & 1 & 1 & 1 \\ 1 & -8 & 1 & 1 & 1 & 1 & 1 & 1 & 1 \\ 1 & 1 & -8 & 1 & 1 & 1 & 1 & 1 & 1 \\ 1 & 1 & 1 & -8 & 1 & 1 & 1 & 1 & 1 \\ 1 & 1 & 1 & 1 & -8 & 1 & 1 & 1 & 1 \\ 1 & 1 & 1 & 1 & 1 & -8 & 1 & 1 & 1 \\ 1 & 1 & 1 & 1 & 1 & 1 & -8 & 1 & 1 \\ 1 & 1 & 1 & 1 & 1 & 1 & 1 & -8 & 1 \\ 1 & 1 & 1 & 1 & 1 & 1 & 1 & 1 & -8 \end{bmatrix}$$

$$\hat{Q} = \begin{bmatrix} -8,39 & 0,94 & 1,04 & 1,17 & 0,99 & 1,15 & 0,93 & 1,05 & 1,11 \\ 0,94 & -7,92 & 0,83 & 1,00 & 0,96 & 1,05 & 1,08 & 1,12 & 0,95 \\ 0,99 & 0,87 & -7,82 & 1,01 & 1,15 & 0,85 & 0,98 & 0,92 & 1,05 \\ 1,00 & 1,05 & 1,10 & -8,38 & 1,01 & 1,09 & 0,99 & 1,02 & 1,12 \\ 0,99 & 0,88 & 1,01 & 1,05 & -7,81 & 1,02 & 1,04 & 0,98 & 0,82 \\ 1,09 & 1,06 & 1,08 & 1,09 & 0,94 & -8,23 & 0,99 & 1,05 & 0,92 \\ 0,94 & 0,99 & 0,93 & 0,98 & 1,01 & 1,05 & -7,91 & 1,04 & 0,97 \\ 0,95 & 1,01 & 1,02 & 1,08 & 1,03 & 1,03 & 1,12 & -8,27 & 1,03 \\ 1,04 & 0,99 & 1,05 & 0,97 & 0,97 & 0,99 & 1,00 & 1,14 & -8,16 \end{bmatrix}$$

\hat{h}	512.85	1540.73	2556.34	3583.00	4612.45	5635.21	6654.24	7686.07	9234.71
h	512.0	1536.0	2560.0	3584.0	4608.0	5632.0	6656.0	7680.0	9216.0

Desafíos, Conclusiones y Trabajos Futuros

- Desafíos de este trabajo
 - Dificultad numérica por la exponencial involucrada, reescalamiento de unidades. El cálculo numérico de la exponencial se va del rango de float32. Aun así, error global menor a 10^{-2} .
- Conclusiones
 - El autovalor de Perron de las matrices estimadas, es una buena aproximación para el ABE teórico.
- Trabajos futuros
 - Datos reales. Verificar que la hipótesis de modelado es correcta. 600000 paquetes por segundo, filtrado por Ip, puerto y MAC address.

Desafíos, Conclusiones y Trabajos Futuros

- Desafíos de este trabajo
 - Dificultad numérica por la exponencial involucrada, reescalamiento de unidades. El cálculo numérico de la exponencial se va del rango de float32. Aun así, error global menor a 10^{-2} .
- Conclusiones
 - El autovalor de Perron de las matrices estimadas, es una buena aproximación para el ABE teórico.
- Trabajos futuros
 - Datos reales. Verificar que la hipótesis de modelado es correcta. 600000 paquetes por segundo, filtrado por Ip, puerto y MAC address.

Desafíos, Conclusiones y Trabajos Futuros

- Desafíos de este trabajo
 - Dificultad numérica por la exponencial involucrada, reescalamiento de unidades. El cálculo numérico de la exponencial se va del rango de float32. Aun así, error global menor a 10^{-2} .
- Conclusiones
 - El autovalor de Perron de las matrices estimadas, es una buena aproximación para el ABE teórico.
- Trabajos futuros
 - Datos reales. Verificar que la hipótesis de modelado es correcta. 600000 paquetes por segundo, filtrado por Ip, puerto y MAC address.

Gracias!!